

京都大学 防災研究所 正 江頭進治
 京都大学 防災研究所 正 芦田和男
 新日本技術コンサルタント 正 大槻英樹

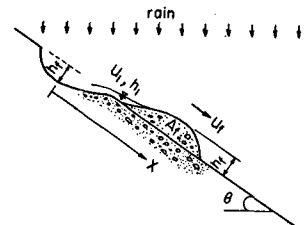
1. まえがき

山腹斜面の崩壊土がどのような挙動を示すかは、土砂災害の形態や規模を左右する重要な問題である。山腹崩壊土の挙動には、滑動化しないまま滑動停止するものと滑動したが後も滑動化して土石流土形成する場合がある。どちらの運動形態をとるかは、土塊の大きさ、斜面の長さ、勾配、水の供給状態および土質条件などに依存するものと思われる。(以下、従来この方面の研究はほとんど見当らない)。本稿においては、山腹崩壊土の滑動化の機構について力学、工質力学的侧面より検討を行い、滑動化に関する条件式を提案する。さらに、これと実験および現地調査結果との比較を行う。

2. 崩壊土の滑動化に関する条件

山腹崩壊土によって生産された土塊の運動を模式的に示すと図-1のようである。

運動機構については、この年次講演会において議論している。¹⁾それによると得られたいくつつかの知見のうち、水で飽和した土塊の滑動開始あるいは滑動停止の条件を示すと次のようである。



$$\tan \theta_c \leq \frac{P_g - P}{P_g} \mu (1 - \lambda) - \frac{P}{P_g A_f g \cos \theta} \left\{ u_1^2 h_1 + \frac{1}{2} g h_1^2 \right\} \quad (1)$$

ここで、 θ_c : 滑動停止の斜面傾斜角、 P, P_g : 水、土粒子の密度、 g : 重力加速度、 A_f, λ : 土塊の断面積、空隙率、 u_1, h_1 : 土塊後方にあたる表面流の流速、水深。 P_g は土塊背面上の水の断面積 A_f も含めた土塊の平均密度である。次式のように定義されてる。

$$P_g = P_g (1 - \lambda_0) + P \lambda_0 - \Delta A_f / A_f \cdot \{ (P_g - P) (1 - \lambda_0) \}, \quad (\lambda_0: \text{土塊の初期空隙率}) \quad (2)$$

土塊は、斜面勾配が θ_c よりも大きい場合には初速が 0 であっても滑動する。滑動速度 u_1 が表面流の流速 u_2 よりも大きいときには水の供給を受けて、土塊の体積は増加する。したがって、界面の摩擦により変形が進行する。したがって、(1) 土塊を構成する土粒子の分散に必要な水が供給され、(2) 土塊の内部構造が破壊される、という二つの条件が満たされたとき、滑動中の土塊は滑動化して土石流へ遷移するものと思われる。以下、これらの条件について議論する。ただし、i) 現象は二次元的、ii) 土粒子の侵食・堆積はなく、iii) 土塊に一旦取込まれて水は流出しないものとする。

条件①：土粒子が分散するための必要な土粒子の最大容積濃度を C_{max} とする。この条件は形式的に、

$$\frac{(1 - \lambda_0) A_{f0}}{A_{f0} + \Delta A_f(t)} \leq C_{max} \quad (2A) \quad \text{あるいは,} \quad \Delta A_f(t) \geq \frac{A_{f0}(1 - \lambda_0 - C_{max})}{C_{max}} \quad (2B)$$

のようになる。ここで、 A_{f0} ：土塊の初期断面積である。上式の未知量 $\Delta A_f(t)$ は、水の供給によって土塊体積の増分であるが、これは、 u_2 は固定した場合 $dA_f/dt = dA_f(t)/dt = (u_1 - u_2)h_1$ を用いて簡単に求められる。すなはち、 $u_1 = \text{一定}$ 、 $h_1 = \text{一定}$ の場合は、上の条件は次のようになされる。

$$\frac{\{u_1 t - x_f(t)\} h_1}{A_{f0}} \geq \frac{1 - \lambda_0}{C_{max}} \quad (3)$$

ここで、 $x_f(t)$ は、崩壊の発生時刻より t 時間後の滑動距離である。式(3)の左辺は、 $u_f = dx_f/dt = u_1$ かつ $t = t_f$ のときの時間 $t = t_f$ における最大値となる。(ただし、 $t = t_f$ における式(3)の成否を判定すれば十分である)。

条件②：せん断変形による内部構造の破壊を考える。せん断ひずみ(塑性ひずみ)は境界摩擦に起因するも

のとする。また、境界摩擦においては、一般に滑動速度に依存しないものが卓越するのでこれを対象とする。さて、土塊内部のせん断抵抗面では、クーロン式で評価できるものとすれば、次式のようになる。

$$T = \sigma_i \cos(\pi/4 + \phi_s/2) \tan \phi_s + C \quad (4)$$

ここで、 σ_i : 主応力、 ϕ_s : 内部摩擦角、 C : 粘着抵抗力である。上式において、 $\pi/4 + \phi_s/2$ は、図-2に示すところの破壊面である。いま、土塊の内部構造が破壊されたときのひずみを以てすると、土塊全体の変形エネルギーは次式のようになる。

$$E_s = \int_{A_f} \alpha x dA = \alpha \left[\int_{A_f} \{\sigma_i \cos(\frac{\pi}{4} + \frac{\phi_s}{2}) \tan \phi_s + C\} dA \right] \quad (5)$$

上式の今、平均的に重力の向きに一致し、次式で示される有効応力を用いて評価されるはずである。

$$\sigma_i' = (1-\lambda)(P_s - P) g (Z_s - Z) \cos \theta \quad (6)$$

ここで、 Z_s : 土塊表面の座標である(図-2)。土塊の形状を三角形で近似して $A_f = \frac{1}{2} l_f h_f$ (l_f : 土塊の長さ) とおく。この関係を用い、式(5)、式(6)を代入して若干の演算を行うと次式を得る。

$$E_s = \alpha \left\{ \frac{1}{3} (1-\lambda)(P_s - P) g h_f A_f \cos \theta \cos(\frac{\pi}{4} + \frac{\phi_s}{2}) \tan \phi_s + C A_f \right\} \quad (7)$$

一方、土塊が X_{fp} だけ滑動したとき、土塊に対して摩擦力のたす仕事は、

$$E_M = k_M \mu \{(1-\lambda)(P_s - P) g A_f \cos \theta\} X_{fp} \quad (8)$$

のようになるとされる。ここで、 k_M : 摩擦係数の供給率である。

さて、土塊の内部構造が破壊されたときは、つきの条件、

$$E_s \leq E_M \quad (9)$$

が満たされたときと定められる。ここで、式(7)、(8)を(9)に代入して X_{fp} について解くと、内部構造の破壊条件が次のようになる。

$$\frac{X_{fp}}{h_f} \geq \frac{\alpha}{k_M} \left\{ \frac{\cos(\pi/4 + \phi_s/2) \tan \phi_s}{3 \mu} + \frac{1}{\mu (1-\lambda) (1-P/P_s)} \frac{f_{cx}}{\cos \theta} \right\} \quad (10)$$

ここで、 $f_{cx} = C / \rho g h_f$ である。上式には未知係数 α/k_M が含まれているが、水路実験によると、 $\alpha/k_M = 23 \sim 37$ 程度に推定されている。

図-3、4は、それを式(10)と水路実験のひびき帯調査結果とも比較したものである。式(10)における $\mu = \tan \phi_s = 0.762$ 、 $\lambda = 0.25$ 、 $P = 1$ 、 $P_s = 2.65 \text{ kg/cm}^2$ が採用されている。図-3の実験値は、式(3)の条件も満足しているとのこと、 X_{fp} には滑動化した地盤までの滑動距離が採用されている。図-4の X_{fp} には崩壊地点より滑動化地盤までの滑動距離が、 h_f には崩壊深が用いられてある。さて、これらの図を比較するうえで、実験値および調査データと、式(10)は、滑動化の条件が評価されていいものと思われる。

3. あとがき

小脇崩壊工の滑動化の条件については検討した。細部においては検討すべき問題はあるものの、 θ_c よりも多くの X_{fp} よりも長い斜面においては、式(3)が満たされたうちは水が供給されると、山脇崩壊工は土石流に遷移すると言えるであろう。本研究は自然災害科学特別研究(1)(代表者: 綱干教復)の補助を受けている。また、実験や稿文の面で東大防災研究所吉田義則研究室に御協力いただいた以下の方々に感謝の意を表す。

参考文献: 1) 大脇・芦田・江頭: 斜面上における土塊の運動機構に関する研究、第38回年次講演会、II, 1983.

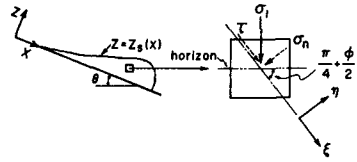


図-2. 土塊の内部応力と破壊面

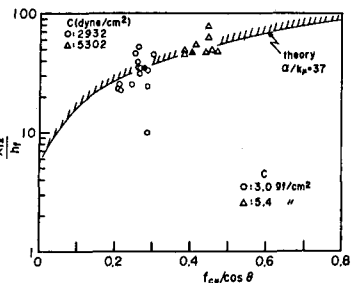


図-3. 式(10)と実験値との比較

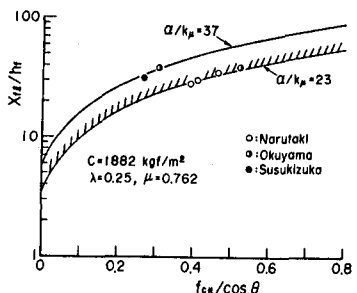


図-4. 式(10)と昭和52年長崎災害のデータとの比較